

## II—6 スリット壁の波力特性

苦小牧高専 正会員 浦島 三朗  
 苦小牧高専 正会員 石塚 耕一  
 室工大 正会員 近藤 健郎

### 1. まえがき

透過性構造物は、港外の波浪をある程度しゃへいすることによって、静穏な航路や泊地を確保し、荷役の能率化や船舶の安全な停泊に寄与し、前面海域での反射の低減と堤内外の海水交換が促進できる。この種の防波堤には異形ブロック等による傾斜防波堤、透水壁を使用した直立透過型防波堤が考えられる。前者は、水深の深い場所への適用が困難なことから、最近では直立透過型防波堤の研究・開発が数多く行なわれるようになってきており、その代表的な例は、スリット壁および多孔壁型防波堤である。このような構造物を合理的に設計するには、最初に単一の透水壁に作用する波力を正確に推定する必要がある。そこで本研究においては、スリット壁に作用する水平全波力を実験より求め、実験値の検討から波やスリット壁の特性を表わす各種のパラメーターの水平全波力にあらわす影響を明らかにしようとしたものである。また、多孔壁に作用する水平全波力についてもあわせて検討し、スリット壁との比較も行った。

### 2. 実験方法

実験は本校の長さ 19.7m、幅 0.8m、高さ 0.8m のペンドュラム造波装置が設置されている前面がラス張りの 2 次元造波水槽を仕切り板により 2 分し、その 1 方に図-1 に示すようなスリット壁を取り付けた波力検出計を造波器前方 11.3m の位置に設置した。この装置は波力測定アーム部に  $25\text{mm} \times 6\text{mm}$  の断面を有する平鋼を用い、アーム上端部を固定し検出計全体として片持梁構造としてある。アーム 1 本につきその表裏には 20cm 間隔で計 4 枚のストレインゲージを貼り、ブリッジ回路を構成し動歪計を通じてビデオラフに記録させ、水平全波力を求めた。なお、本実験に用いたスリット壁の種類は、幅 40cm、高さ 60cm のアクリル材に図-1 に示すようなスリット部を設けた 3 種類の空隙率入、壁厚  $d$  は各々の空隙率において  $d = 15\text{mm}$ 、30mm、45mm の 3 種類、計 9 種類のスリット壁である。実験条件は、周期  $T$  は  $1.1\text{sec} \sim 2.4\text{sec}$ 、入射波高  $H_1$  は約  $1.0\text{cm} \sim 10.0\text{cm}$  で、前面水深  $H_2$  は一定で  $50\text{cm}$  とした。

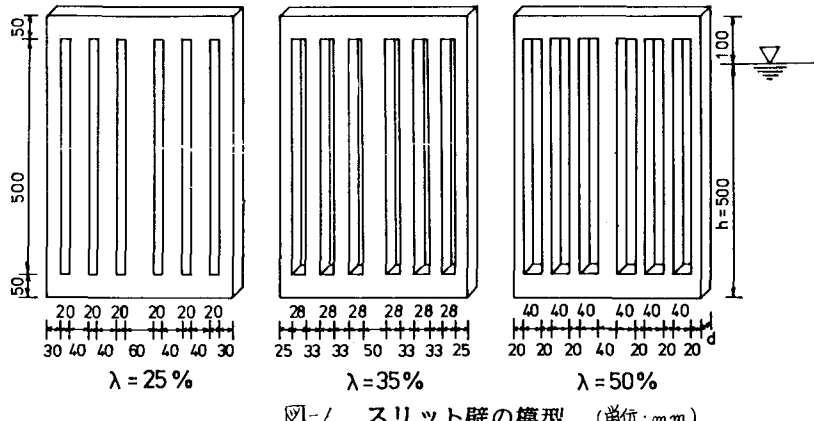


図-1 スリット壁の模型 (単位:mm)

スリット壁に作用する波力は当然のことながら波やスリット壁の特性と密接な関係があり、それらの特性を示す各種のパラメーターの波力にあらわす効果を知ることはわめて重要である。いま、海底勾配を一定とし、かつスリット壁の粗度や振動特性の影響を考慮しないこととする。また、水平全波力の最大値  $F_{max}$  に注目し、粘性の効果を無視すると、水平全波力の最大値を支配する諸元について考察すると次のようになる。

### 3. 実験結果

スリット壁に作用する波力は当然のことながら波やスリット壁の特性と密接な関係があり、それらの特性を示す各種のパラメーターの波力にあらわす効果を知ることはわめて重要である。いま、海底勾配を一定とし、かつスリット壁の粗度や振動特性の影響を考慮しないこととする。また、水平全波力の最大値  $F_{max}$  に注目し、粘性の効果を無視すると、水平全波力の最大値を支配する諸元について考察すると次のようになる。

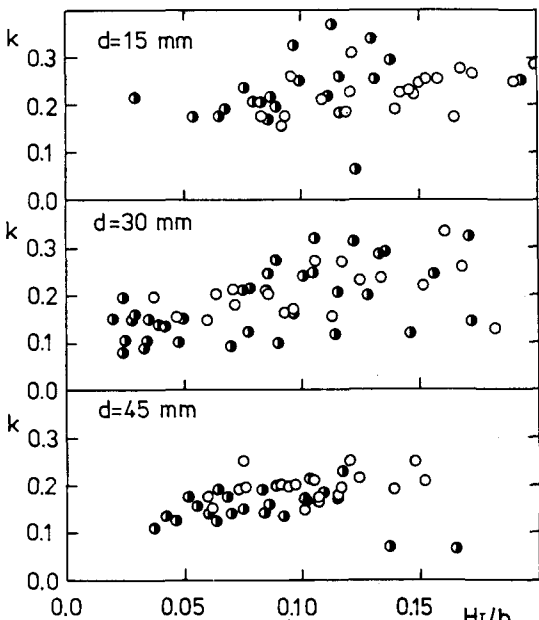


図-2 スリット壁における  $k$  と  $Hi/h$  ( $\lambda = 25\%$ )

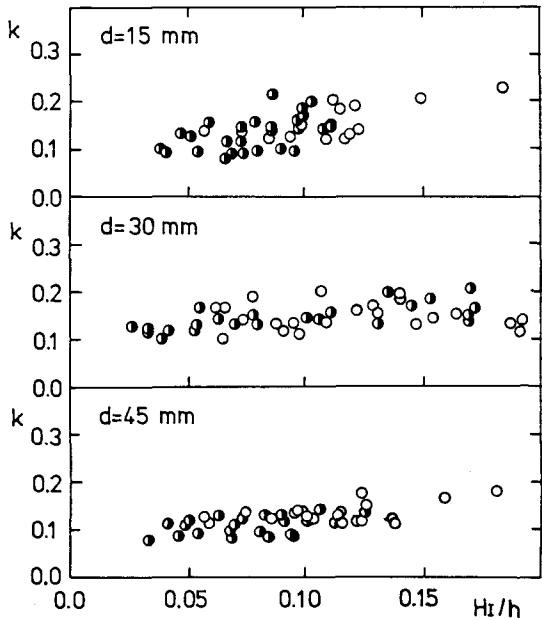


図-3 スリット壁における  $k$  と  $Hi/h$  ( $\lambda = 35\%$ )

$$\bar{R} = \frac{F_{max}}{\omega_0 H_I (1-\lambda) B R} = f\left(\frac{H_I}{R}, \frac{R}{L}, \frac{S}{d}, \frac{S}{H_I}\right) \quad \text{--- (1)}$$

ここで、 $R$ ：波力係数、 $F_{max}$ ：水平全波力の最大値、 $\omega_0$ ：水の単位体積重量、 $H_I$ ：入射波高、 $S$ ：空隙率、 $B$ ：スリット壁の幅員、 $R$ ：水深、 $L$ ：波長、 $S$ ：スリット幅、 $d$ ：壁厚である。

図-2, 3, 4はスリット壁の各空隙率ごとの波力係数  $R$  と  $Hi/R$  の関係を示す。図中において●印は  $R/L < 0.14$ 、○印は  $0.14 \leq R/L < 0.25$  の範囲の実験値を示す。図-2に示されるように空隙率 25 % の実験値は、 $d = 15\text{mm}$ ,  $30\text{mm}$  において、全体的にバラツキがあり、特に  $R/L < 0.14$  の実験値のバラツキ幅は大きい。壁厚が  $d = 45\text{mm}$  となると、バラツキは小さくなり、各波長の波も比較的よく  $Hi/R$  で整理することができる。各壁厚とも  $Hi/R$  が増加すると  $R$  値は増加する傾向があり、壁厚により実験値のバラツキのちがいはあるが、 $Hi/R$  を関数とした平均的  $R$  値はほぼ同じである。

波長による変化は、波長の範囲がせまく、実験値のバラツキが大きいためにその影響はみられない。図-3の空隙率 35 % の実験値は、各壁厚とも空隙率 25 % より実験値のバラツキ幅は小さく、壁厚が厚くなると従いバラツキ幅はさらに小さく、 $Hi/R$  の関数としてよく整理することができる。壁厚が厚くなると多少  $R$  値は小さくなるが、実験値のバラツキ、波長別による  $Hi/R$  の範囲が狭く、波長によって実験値がある範囲に集中していることを考慮すると、空隙率 35 % においてはほとんど壁厚の影響がみられないと考えた方が妥当であろう。波長別にみると、波長、 $Hi/R$  の範囲が狭いこともあるが、波長の影響はみられない。図-4の空隙率 50 % は、2

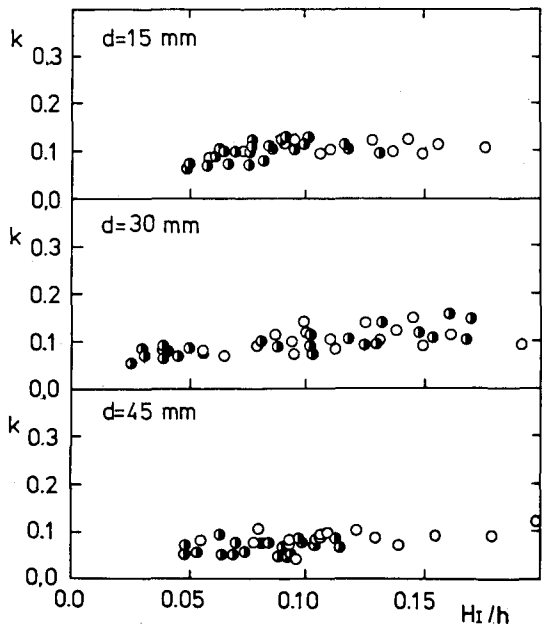


図-4 スリット壁における  $k$  と  $Hi/h$  ( $\lambda = 50\%$ )

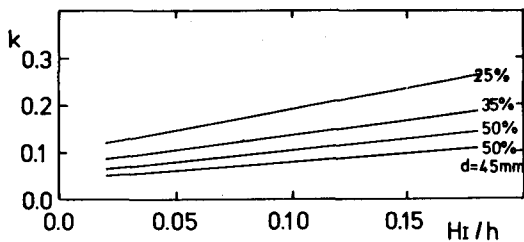


図-5 スリット壁における  $k$  と  $H_1/h$

らによく  $H_1/h$  で整理されており、空隙率 35 % と同じように波長によるちがいはほとんどみられない。壁厚の変化についても、 $d = 15\text{ mm}$ ,  $30\text{ mm}$  のほぼ同じ実値を示すが、 $d = 45\text{ mm}$  と厚くなると、 $k$  の値は多少小さくなる。

スリット壁の各空隙率の実値を  $H_1/h$  の関数として、直線であらわすと図-5 のようになり、空

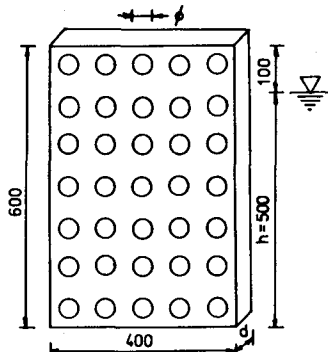


図-6 多孔壁の模型 (単位: mm)

表-1

| $\lambda$ (%) | $\phi$ (mm) | $d$ (mm) |
|---------------|-------------|----------|
| 20            | 20          | 10       |
| 34            | 40          | 20, 30   |

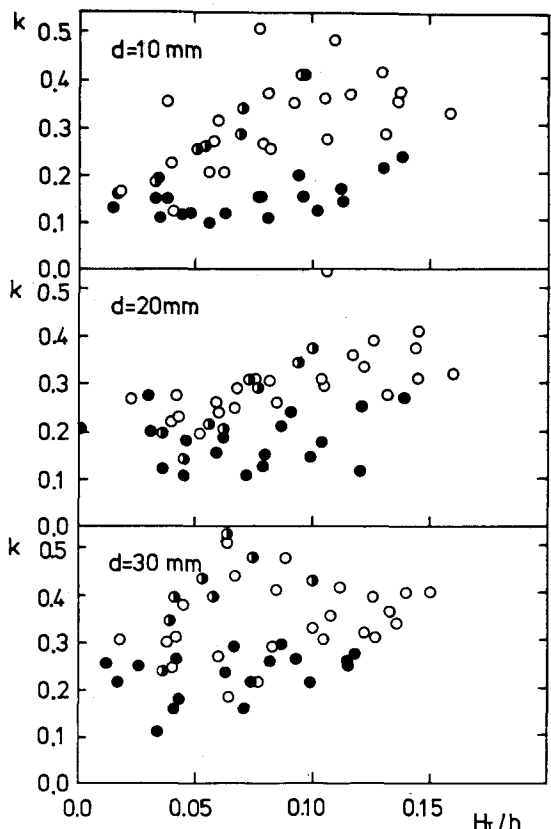


図-7 多孔壁における  $k$  と  $H_1/h$  ( $\lambda = 20\%$ ,  $\phi = 20\text{ mm}$ )

隙率を大きくすると波力はより軽減することができる。実験波と同じ波が不透水壁に作用する場合の波力をサンフローの簡略式で計算し、(1)式から逆算し、スリット壁の波力係数  $\lambda$  との比をとると、 $\lambda = 35\%$ ,  $d = 15\text{ mm}$  の場合で約 0.1 ~ 0.5 となり不透水壁の受ける波力の  $1/10$  ~  $1/2$  であろう。

著者のひとりはすでに図-6 に示すうな、表-1 の 9 種類の多孔壁の波力を測定しており、その実験値をもとにスリット壁と同じように波力係数  $\lambda$  と  $H_1/h$  でまとめるとき、図-7, 8, 9 のようになる。図中の ●印は、 $\phi/L \geq 0.25$  の実験値を表わす。空隙率 20 % の図-7 は、スリット壁の空隙率 25 % の図-2 と同じようにバラツキが大きく、波長が長い波ほど  $\lambda$  の値は大きく、図-2 のスリット壁より波長の影響が顕著に表われている。また、壁厚が厚くなると  $\lambda$  の値は多少大きくなる傾向を示す。空隙率 34 % の図-8 は、バラツキが図-7 に比べて少くなり、 $\lambda$  の値も小さく、 $H_1/h$  による変化

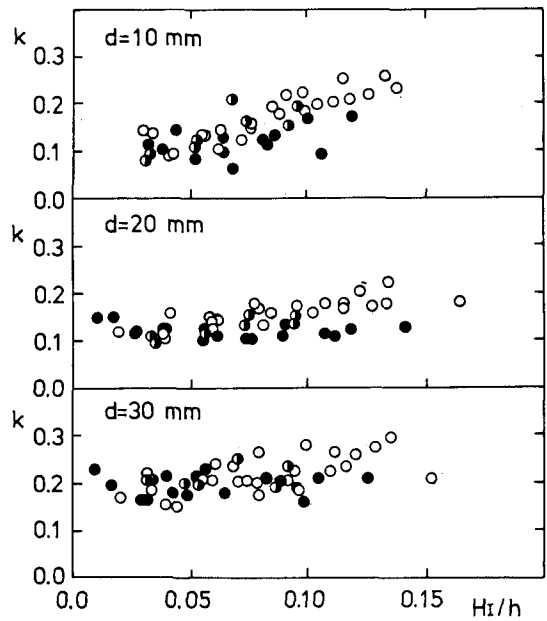


図-8 多孔壁における  $k$  と  $H_1/h$  ( $\lambda = 34\%$ ,  $\phi = 20\text{ mm}$ )

も小さくなる。長の値は波長の長いものの方が大きく、  
 $d = 30\text{ mm}, 10\text{ mm}, 20\text{ mm}$  の順に長の値は小さくなる。  
 空隙率 34 % を一定にして、孔径中を 20 mm から 40  
 mm に大きくすると、図-9 に示すようにバラツキが  
 $\sim 8$  % に比べ大きくなり、長の値は壁厚によらずほぼ同じ  
 値となり、 $H_I/h$  が小さい範囲で波長の長い波の長の値  
 の方が大きく、 $H_I/h$  が大きい範囲では逆の傾向を示す。

多孔壁は、スリット壁と同じように空隙率が大きくな  
 るに従い長の値は小さくなるが、壁厚が厚くなると多少  
 長の値は小さくなる傾向を示すが、孔径に比してある程  
 度厚くなると、逆に長の値は大きくなる。孔径を大きく  
 しても長の値はそれほど変化しないが、全体的にバラツ  
 キが大きくなり、特に波長の短い波にその傾向がみられ  
 る。スリット壁の空隙率 35 % と多孔壁の空隙率 34 %  
 を比較すると、実験条件等の違いはあるがスリット壁の  
 方が波力が小さいようと思われる。

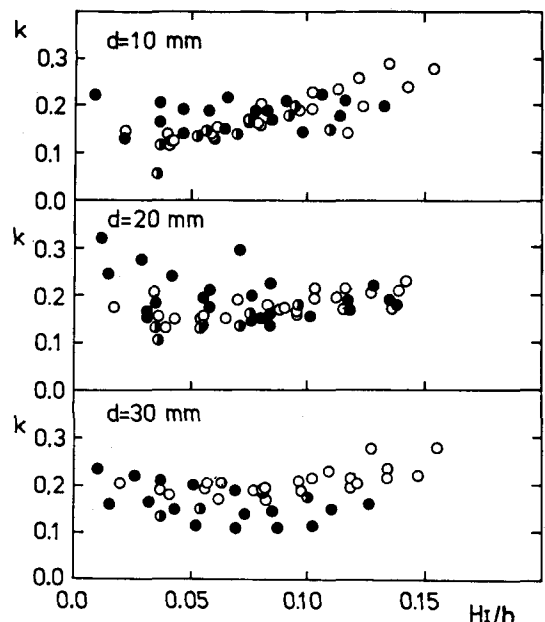


図-9 多孔壁における  $k$  と  $H_I/h$  ( $\lambda = 34\%$ ,  $\phi = 40\text{mm}$ )

#### 4. まとめ

スリット壁は不透水壁に比べ水平全波力の最大値  $F_{max}$  を大きく低減することができ、空隙率を大きくすることにより水平全波力の  $F_{max}$  はより低減することができる。壁厚を厚くしても水平全波力の  $F_{max}$  はそれほど変化はないが、空隙率の大きな  $\lambda = 50\%$  では、壁厚が厚くなると水平全波力の  $F_{max}$  は低減する。しかし、多孔壁においてはある程度水平全波力の  $F_{max}$  は低減するが、孔径に比して壁厚がある程度厚くなると逆に水平全波力の  $F_{max}$  は大きくなる。波長が長くなると一般的に水平全波力は大きくなるが、スリット壁および多孔壁とも  $\lambda/L < 0.25$  の範囲ではその影響はみられないが、多孔壁においては  $\lambda/L < 0.25$  と  $\lambda/L \geq 0.25$  の実験値を比較すると全体的に波長の長い波が作用する時の方が水平全波力の  $F_{max}$  が大きくなる。スリット壁と多孔壁では、本実験の条件下においては、ほぼ同じ空隙率の場合スリット壁に働く水平全波力の  $F_{max}$  の方が小さい。

今回は、水平全波力の  $F_{max}$  を各条件ごとに波力係数  $\lambda$  として、 $H_I/h$  でまとめ空隙率の比較的大きなものについては整理することができたが、今後水平全波力を抗力と質量力の和としてそれをについて考察し、モリソン式の透水壁への適用性を検討していくといたい。

最後に、実験には卒業生尾田克人、牧野 玲の諸氏に多大な御協力を得た。記して深く感謝する次第である。

#### 参考文献

- 1) 浦島三朗、石塚耕一、近藤淑郎：スリット壁の波力に関する抗力係数と質量係数、第36回年次学術講演会講演概要集第2部、1981、P.793～794
- 2) 近藤淑郎、佐藤隆一：多孔壁の損失係数と見掛けのオリフィス長との推定、第26回海岸工学講演会論文集、1979、P.333～337
- 3) 森山啓一、服部千華寿、近藤淑郎：多孔壁に作用する波力の特性、第35回年次学術講演会講演概要集第2部、1980、P.35～36